

ИЗУЧЕНИЕ ЭЛЕКТРОННОЙ СТРУКТУРЫ $\text{Cr}_x\text{Ti}_{1-x}\text{Se}_2$ МЕТОДАМИ РЕНТГЕНОВСКОЙ РЕЗОНАНСНОЙ И АБСОРБЦИОННОЙ СПЕКТРОСКОПИИ

A. С. Шкварин^a, Ю. М. Ярмошенко^a, Н. А. Скориков^a, А. И. Меренцов^a,
A. Н. Титов^a, П. А. Слепухин^b, Д. Е. Марченко^c, М. Сперлинг^c **

^a Институт физики металлов Уральского отделения Российской академии наук
620990, Екатеринбург, Россия

^b Институт органического синтеза Уральского отделения Российской академии наук
620173, Екатеринбург, Россия

^c Helmholtz-Zentrum Berlin für Materialien und Energie, BESSY II
D-12489, Berlin, Germany

Поступила в редакцию 22 апреля 2010 г.

Синтезированы твердые растворы $\text{Cr}_x\text{Ti}_{1-x}\text{Se}_2$ ($x = 0\text{--}0.83$). В диапазоне концентраций $x = 0\text{--}0.83$ выращены монокристаллы. Структурными исследованиями образцов установлено, что атомы хрома замещают титан в матрице TiSe_2 . Изучены рентгеновские фотоэлектронные спектры внутренних уровней, резонансные спектры валентных полос 1T- $\text{Cr}_x\text{Ti}_{1-x}\text{Se}_2$ и рентгеновские спектры поглощения титана и хрома. Показано, что атомы титана и хрома имеют степень окисления соответственно +4 и +3 в идентичном октаэдрическом окружении. Выполнены расчеты локальной плотности состояний хрома. Результаты расчета хорошо согласуются с экспериментальными данными и указывают на то, что электронные 3d-состояния хрома, замещающего титан в матрице, спин-поляризованы и плотность состояния хрома имеет полуметаллический характер.

1. ВВЕДЕНИЕ

Слоистые дихалькогениды переходных металлов представляют собой широкий класс квазидвумерных материалов, обладающих рядом интересных физических свойств. CrSe_2 и соединения на его основе изучены слабо, поскольку чистый CrSe_2 не удается получить в стабильном состоянии. Это связано с неустойчивостью иона Cr^{4+} . Эта проблема может быть решена введением в решетку дополнительных донорных атомов. В работе [1] с помощью метода *ab initio* линейных спиновых волн рассчитаны спин-поляризованные и не спин-поляризованные зонные структуры CrSe_2 . Показано, что CrSe_2 является магнитным материалом; его магнитный момент составляет порядка $2.4\mu_B$ на ион Cr. Зонная структу-

ра для двух направлений спина в CrSe_2 радикально различается вблизи уровня Ферми.

Экспериментальные исследования электронной структуры дихалькогенидов хрома не известны, кроме работы [2], в которой представлены некоторые данные по рентгеновской фотоэмиссии и ультрафиолетовой фотоэмиссии с угловым разрешением для слоистого соединения NaCrSe_2 . Показано, что 3d-электроны хрома существенно локализованы и эта локализация приводит к возникновению мультиплетного расщепления эмиссионной 3s-линии Cr. Величина расщепления обсуждается исходя из магнитных свойств материала и результирующего спинового момента ионов хрома.

Ранее нами был изучен интеркалированный хромом диселенид титана $\text{Cr}_{0.1}\text{TiSe}_2$, обладающий локализованным магнитным моментом величиной $3\mu_B$ на атом хрома [3]. Как позднее было установлено, это состояние локализации деградирует после достижения порога протекания в подрешетке атомов тита-

*E-mail: shkvarin@ifmlrs.uran.ru

**M. Sperling

на, координированных хромом, при его концентрации около 25 % [4]. Введение хрома в слой титана позволяет избежать такой деградации.

Такое замещение является единственным способом акцепторного легирования TiSe_2 [5]. Интеркаляция акцепторных примесей невозможна вследствие сильного кулоновского отталкивания между слоем интеркалянта и ближайшим к нему слоем халькогена. Поэтому изучение электронной структуры системы $\text{Cr}_x\text{Ti}_{1-x}\text{Se}_2$ в зависимости от содержания хрома позволит получить информацию о формировании электронной структуры и степени спиновой поляризации 3d-состояний Cr.

Цель нашей работы состоит в изучении электронной структуры полученного материала $\text{Cr}_x\text{Ti}_{1-x}\text{Se}_2$ с помощью рентгеновской фотоэлектронной спектроскопии (XPS), абсорбционной спектроскопии (XAS), резонансной XPS, мультиплетных атомных расчетов спектров поглощения титана и хрома, а также расчетов зонной структуры.

2. ЭКСПЕРИМЕНТ

Монокристаллы $\text{Cr}_x\text{Ti}_{1-x}\text{Se}_2$ выращены газотранспортным методом прямого испарения в вакуумированных кварцевых ампулах из поликристаллической фазы заданного состава. Кристаллы представляют собой тонкие пластинки размерами около $2 \times 2 \times 0.05$ мм³.

Химический состав определен методом рентгеновского флуоресцентного анализа на спектрометре JEOL-733. Этот метод переоценивает содержание тяжелых элементов, что приводит к систематической ошибке в несколько процентов. Для исследования кристаллической структуры использован метод рентгеновской дифракции поликристаллов и для одного выбранного состава изучен монокристалл с использованием рентгеновского монокристалльного дифрактометра X-calibur 3 фирмы «Oxford diffraction».

Магнитная восприимчивость измерялась в температурном интервале 77–750 К методом Фарадея в магнитном поле 100 Гц. Измерения температурной зависимости магнитной восприимчивости показали переход в состояние спинового стекла, аналогичный приведенному в работе [6] для KCrSe_2 . Это указывает на то, что собственно магнитным структурным фрагментом в системе $\text{Cr}_x\text{Ti}_{1-x}\text{Se}_2$ являются слои CrSe_2 , при больших концентрациях хрома эти слои интеркалированы Ti. Это подтверждает правильность выбранной структурной модели.

Рентгеновские фотоэлектронные спектры и спектры поглощения получены на синхротроне BESSY II, в российско-германской лаборатории. Для измерений использовалась экспериментальная станция MUSTANG (Multi User STage for ANGular resolved photoemission) с анализатором PHOBOS HSA3500 150. Для возбуждения фотоэмиссии выбрано излучение с энергией 800 эВ. Калибровка спектров выполнена по линии Pt $4f_{7/2}$ с энергией связи $E_B = 71.2$ эВ. Измерения проведены при комнатной температуре. Все образцы были ориентированы под углом 45° между направлением падающего излучения и поверхностью образца. Ось анализатора была установлена параллельно нормали к поверхности образца.

Размер пятна анализатора составлял до 0.5×0.5 мм². Для спектральных исследований использовались только монокристаллические образцы $\text{Cr}_x\text{Ti}_{1-x}\text{Se}_2$. Для получения свежей поверхности кристаллы были сколоты в рабочей камере при давлении порядка $1 \cdot 10^{-9}$ мбар. Спектры валентных полос всех образцов были измерены в условиях резонансного возбуждения $2p_{3/2}$ -уровней Cr.

Для спектральных исследований использованы образцы составов $\text{Cr}_{0.08}\text{Ti}_{0.96}\text{Se}_2$, $\text{Cr}_{0.11}\text{Ti}_{0.86}\text{Se}_2$ и $\text{Cr}_{0.69}\text{Ti}_{0.36}\text{Se}_2$. Химический анализ показал наличие избыточного титана в формуле $\text{Cr}_x\text{Ti}_y\text{Se}_2$, где $x + y > 1$. Это связано с тем, что избыточный титан в процессе роста кристалла попадает в межслоевое пространство.

3. РЕЗУЛЬТАТЫ И ОБСУЖДЕНИЕ

Ранее показано [7], что при малых концентрациях хрома (до $x = 0.25$) параметры элементарной ячейки практически не зависят от состава. Это обстоятельство с учетом приблизительно одинакового ионного радиуса хрома и титана является признаком замещения. Пространственная группа при этом остается $P-3m1$, как и у исходного диселенида титана. При увеличении концентрации хрома наблюдается упорядочение атомов хрома с образованием сверхструктуры. Это приводит к понижению симметрии от пространственной группы $P-3m1$ до $P3$. Параметры элементарной ячейки для $\text{Cr}_{0.83}\text{Ti}_{0.26}\text{Se}_2$ таковы: $a = 7.1521(8)$ Å, $c = 11.6702(15)$ Å. В табл. 1 для этого состава приведены экспериментально найденные координаты атомов в элементарной ячейке и числа заполнения.

На рис. 1 показаны типичные фрагменты кристаллической структуры. Структура с замещением,

Таблица 1. Атомные координаты и коэффициенты заполнения для монокристалла $\text{Cr}_{0.83}\text{Ti}_{0.26}\text{Se}_2$ по данным монокристалльной дифрактометрии

Атом	Позиция Уайкоффа	Координаты			Числа заполнения
		<i>x</i>	<i>y</i>	<i>z</i>	
Se1	1c	2/3	1/3	0.4288	1
Se2	1b	1/3	-1/3	0.1791	1
Se3	1c	2/3	-2/3	-0.0516	1
Se4	1b	1/3	-1/3	-0.3005	1
Se5	3d	0.6702	-0.1650	-0.0615	1
Se6	3d	1.3366	0.1682	-0.3169	1
Se7	3d	0.6642	-0.1680	0.4419	1
Se8	3d	0.8344	0.1658	0.1896	1
Cr1	1a	1	0	-0.1971	0.9
Cr2	1a	1	0	0.3185	0.94
Cr3	3d	0.4885	-0.0235	0.3110	0.94
Cr4	3d	0.5082	-0.5087	-0.1854	0.9
Ti1	3d	1.4990	-0.0070	-0.4375	0.33
Ti2	1a	1	0	0.0621	1

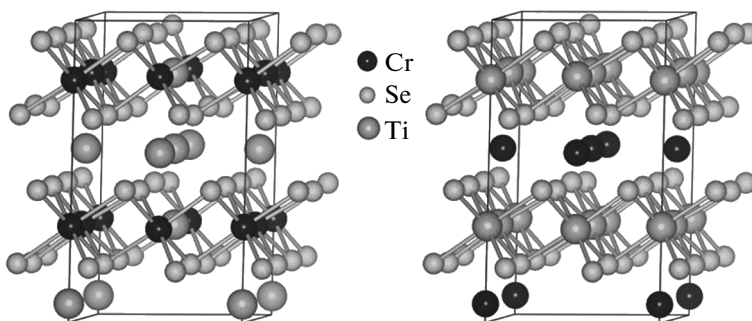


Рис. 1. Кристаллическая структура $\text{Cr}_{0.83}\text{Ti}_{0.26}\text{Se}_2$ (слева) и $\text{Cr}_{0.5}\text{TiSe}_2$ (справа)

как и исходная 1T-TiSe₂, является слоистой и состоит из чередующихся слоев CrSe₂ и атомов титана в щели Ван дер Ваальса. Незначительное количество атомов Ti находится в слоях Cr, это видно в табл. 1: числа заполнения Cr меньше единицы. Атомы титана занимают две кристаллографически неэквивалентные позиции: в начале элементарной ячейки и в ее центральной части (см. табл. 1 и рис. 1). Там же для сравнения приведена элементарная ячейка интеркалированного соединения Cr_{0.5}TiSe₂ с пространственной группой *I2/m* и параметрами элементарной ячейки $a = 6.3068 \text{ \AA}$, $b = 3.5670 \text{ \AA}$, $c = 11.9659 \text{ \AA}$, $\beta = 88.74^\circ$. Данные для соединения замещения сравниены с ранее рассчитанными данными для интерка-

Таблица 2. Сравнение межатомных расстояний Cr–Se в интеркалянных соединениях и в твердых растворах

Состав	Расстояние Cr–Se (усредненно)
$\text{Cr}_{0.83}\text{Ti}_{0.26}\text{Se}_2$	2.496 Å
$\text{Cr}_{0.5}\text{TiSe}_2$	2.559 Å

лянного соединения Cr_xTiSe₂. Отметим, что усредненное расстояние Cr–Se (рассчитанное с учетом кратности связей) меньше в случае замещения титана хромом, по сравнению с интеркаляцией (табл. 2).

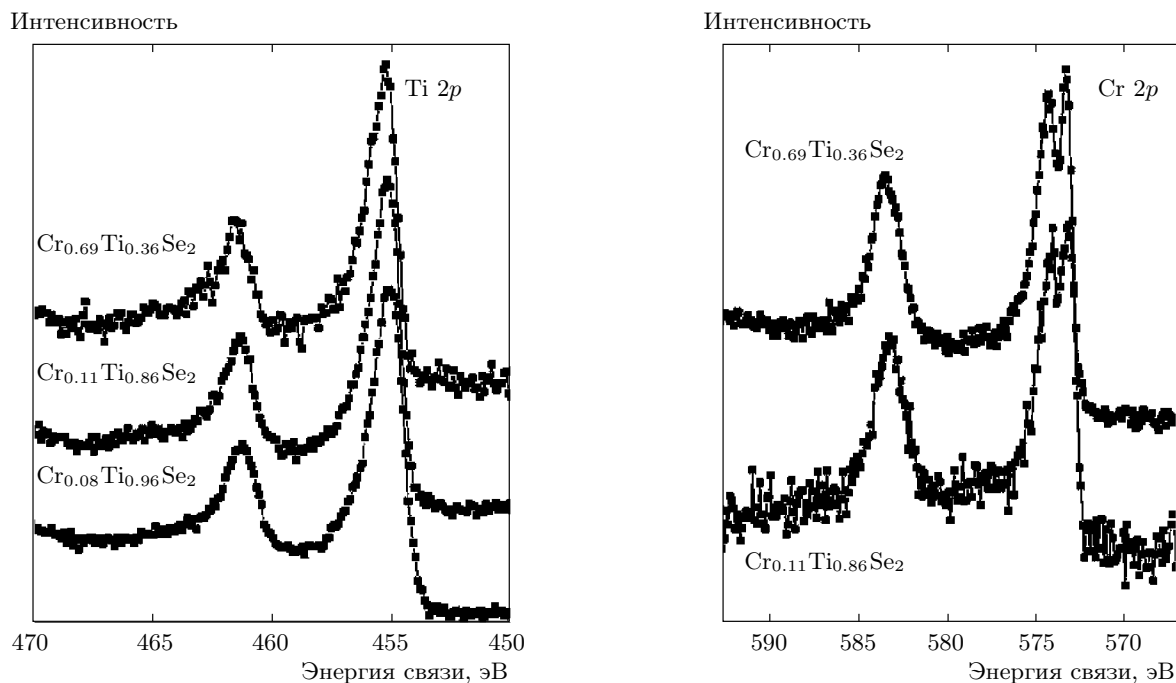


Рис. 2. Спектры внутренних 2p-линий Ti и Cr

На рис. 2 представлены спектры внутренних 2p-уровней титана и хрома. В табл. 3 приведена энергия связи внутренних уровней. В спектрах 2p_{3/2}-уровней Cr наблюдается энергетическое расщепление величиной около 1 эВ. Причиной этого расщепления является обменное магнитное взаимодействие между остоянной дыркой на 2p_{3/2}-уровне Cr и 3d-электронами Cr со спином вверх [3]. Энергия связи 2p_{3/2}-линии Cr проявляет тенденцию к увеличению с ростом концентрации хрома и на 0.5 эВ больше по сравнению с энергией связи для состава, интеркалированного хромом Cr_{0.1}TiSe₂ [3]. Это можно объяснить ростом нескомпенсированного отрицательного заряда 3d-электронов Cr в химической связи Cr–Se (на образование химической связи с селеном необходимо 4 электрона, тогда как заряд иона хрома составляет только +3).

Титановые 2p-спектры дихалькогенидов титана несут необходимую для интерпретации электронной структуры информацию: во-первых, о качестве образцов; во-вторых, величина энергии связи 2p_{3/2}-уровня Ti по данным работы [3] зависит от типа халькогена и типа интеркалированных атомов. Для Cr_xTi_{1-x}Se₂ энергия связи практически одинакова для всех образцов и совпадает с той же величиной для чистого TiSe₂ (рис. 2, табл. 3), в отличие от интеркалированного хромом соединения [3]. Это вы-

звано малым изменением ионности связи Ti–Se при замещении, в отличие от существенного изменения при интеркаляции.

Рассмотрим XAS титана $L_{2,3}$ и хрома $L_{2,3}$ (рис. 3), полученные в тех же экспериментальных условиях, что и XPS. Все XAS титана $L_{2,3}$ совпадают по форме между собой и спектром чистого TiSe₂, изученного нами ранее в работе [8]. Причина этого состоит, вероятно, в том, что при замещении атомов титана в матрице хромом оставшиеся атомы титана сохраняют идентичность симметрии локального окружения и химической связи исходному соединению. При увеличении концентрации хрома наблюдается отрицательный энергетический сдвиг L -спектров Ti на 0.3 эВ (рис. 3). Атомные мультиплетные расчеты $L_{2,3}$ -спектров поглощения Ti⁴⁺ и Cr³⁺ в октаэдрическом окружении выполнены с использованием программы [9]. Наилучшее согласие с экспериментом наблюдается при выборе параметров расчета L -спектра поглощения Ti, когда слейторовские интегралы (F2, G1 и G3) уменьшены до 70 % от значения, рассчитанного в приближении Хартри–Фока, параметр расщепления в кристаллическом поле 10Dq составлял 2 эВ, параметр зарядового переноса Δ равнялся 3 эВ. Результаты этого расчета хорошо согласуются с экспериментальными спектрами поглощения (рис. 3).

Таблица 3. Энергии связи Ti, Cr и Se в зависимости от состава

Образец	E_B , эВ						
	Ti 2p	Ti 3p	Cr 2p	Cr 3p	Se 3d	Se 3s	Se 3p
$\text{Cr}_{0.08}\text{Ti}_{0.96}\text{Se}_2$	455.15	34.05	—	41.2	52.8	228.2	159.3
$\text{Cr}_{0.11}\text{Ti}_{0.86}\text{Se}_2$	455.1	34.1	573.1	41.2	52.8	228.1	159.2
$\text{Cr}_{0.69}\text{Ti}_{0.36}\text{Se}_2$	455.2	34.07	573.3	41.4	53.1	228.45	159.5

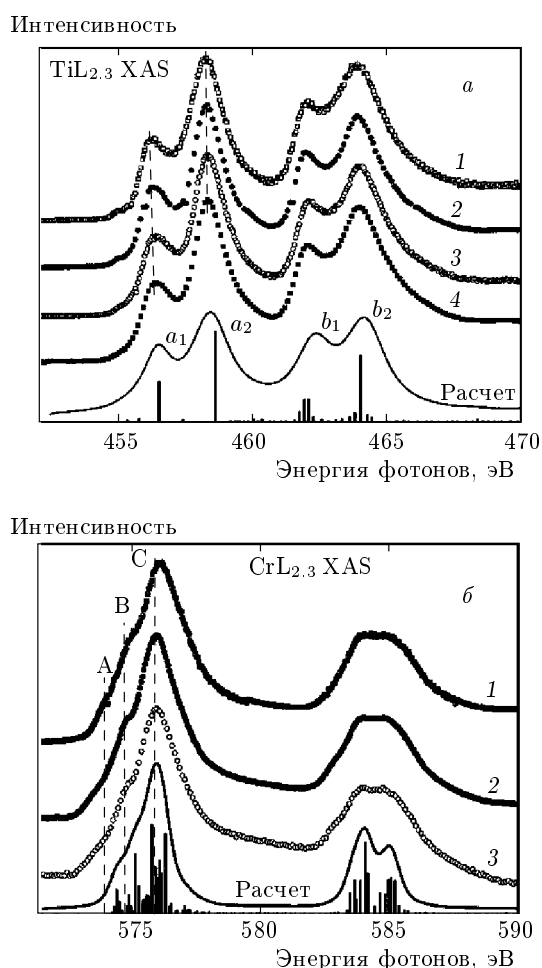


Рис. 3. Спектры поглощения Ti (a) и Cr (б) для составов: 1 — $\text{Cr}_{0.69}\text{Ti}_{0.36}\text{Se}_2$, 2 — $\text{Cr}_{0.11}\text{Ti}_{0.86}\text{Se}_2$, 3 — $\text{Cr}_{0.08}\text{Ti}_{0.96}\text{Se}_2$ (a), $\text{Cr}_{0.08}\text{Ti}_{0.96}\text{Se}_2$ (б), 4 — TiSe_2 . Сплошной линией приведены рассчитанные спектры мультиплетов при возбуждении из состояния $2p^63d^0$ в $2p^53d^1$ атома Ti^{4+} и из состояния $2p^63d^3$ в $2p^53d^4$ для Cr^{3+} в октаэдрической симметрии с учетом переноса заряда на лиганда

Основное различие результатов расчета для титана и хрома заключается в разных расщеплении в кристаллическом поле и весе e_g - и t_{2g} -орбиталей. Обнаружено ярко выраженное расщепление L_3 - и L_2 -компонентов мультиплета Ti в кристаллическом поле на (антисвязующие) t_{2g} (a_1 , b_1)- и e_g (a_2 , b_2)-орбитали на 2 эВ (рис. 3). В простой картине для переходных металлов в октаэдрическом окружении два пика в спектрах L_3 и L_2 (по два в каждом) относятся, соответственно, к симметрии t_{2g} и e_g [10]. Ранее в работе [11] подробно изучено формирование XAS Ti^{4+} в октаэдрическом окружении для некоторых соединений. Поскольку в октаэдрическом окружении e_g -орбитали, направленные на лиганда, сильно связаны с ними, эти (антисвязующие) состояния имеют более высокую энергию по сравнению с t_{2g} -состояниями. Второй пик всегда имеет отношение к состояниям, сильно гибридизованным с лигандами. Вследствие принципа Френка–Кондо [12] в конечном состоянии имеет место колебательное уширение спектра. В случае слабой гибридизации (t_{2g}) это уширение мало. Поэтому гибридизация сильно увеличивает ширину a_2 - и b_2 -пиков. Важной причиной уширения пиков на L_2 -крае поглощения является сокращение времени жизни $2p_{1/2}$ -состояний, вследствие процесса распада типа Костера–Кронига [13, 14]. Кроме того, на ширину оказывает влияние дисперсия полос. Суммарное действие этих эффектов называют уширением в твердом теле [11]. По этим причинам для оптимального описания экспериментальных спектров мы использовали лоренцианы разной ширины для участков расчетного спектра, в которых преобладают орбитали типа t_{2g} и e_g . В расчете $L_{2,3}$ -спектра поглощения хрома выбраны следующие параметры: расщепление в кристаллическом поле $10Dq = 1.6$ эВ, слейторовские интегралы уменьшены до 40 %, параметр зарядового переноса $\Delta = 3$. Спектр хрома CrSe_2 отличается от ранее рассчитанного в работе [15] спектра трехвалентного хрома в соединении Cr_2O_3 меньшей величиной расщепления в кристаллическом поле.

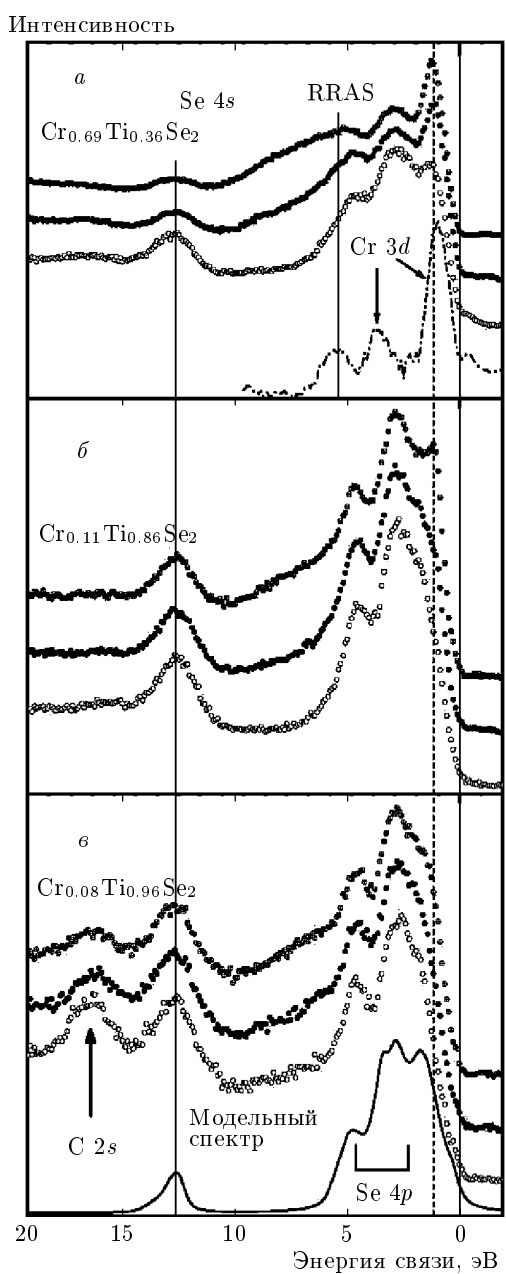


Рис. 4. Спектры валентных полос при резонансных энергиях возбуждения 572 эВ (○), 573 эВ (●) и 574 эВ (⊗). На рис. а приведен разностный спектр между $\text{Cr}_{0.08}\text{Ti}_{0.96}\text{Se}_2$ и $\text{Cr}_{0.69}\text{Ti}_{0.36}\text{Se}_2$ для энергии возбуждения 572 эВ. Линия RRAS на рис. а показывает энергетическое положение резонансного спектра Оже–Рамана. На рис. в приведен смоделированный на основе парциальных плотностей состояний спектр соединения $\text{Cr}_{1/8}\text{Ti}_{7/8}\text{Se}_2$, размытый на 0.3 эВ. Для образца с минимальным содержанием хрома виден пик абсорбированного углерода

Резонансные спектры валентных полос были измерены при энергии возбуждения вблизи $2p_{3/2}$ -края поглощения с энергией $E = 572\text{--}574$ эВ (рис. 4). Спектры соединений с низкой концентрацией хрома за пределами резонанса почти не проявляют отличий друг от друга и чистого TiSe_2 , поскольку сечение фотоионизации валентных электронов селена значительно превышает остальные [16]. Спектры получены при энергии возбуждения меньше $E = 576.3$ эВ, которая соответствует максимуму поглощения для чистого хрома [17]. Этот диапазон энергии возбуждения соответствует резонансному рамановскому режиму (RRAS). В валентной полосе наблюдаются несколько подполос, самая мощная из них, $\text{Se } 4p$, маскирует $3d$ -состояния Cr . Истинные $3d$ -состояния Cr хорошо видны непосредственно ниже энергии Ферми в спектрах с максимальной энергией возбуждения. Для более подробного анализа на рис. 4а штриховой линией показан разностный спектр в области энергии связи 0–5 эВ, полученный вычитанием спектров двух соединений с высоким ($x = 0.69$) и низким ($x = 0.08$) содержанием хрома при энергии возбуждения 572 эВ. К $3d$ -состояниям Cr относятся две линии: основной максимум $3d$ -состояний Cr имеет энергию связи 1 эВ, пик с меньшей интенсивностью имеет энергию связи 3.5 эВ. Максимум рамановской линии в резонансном режиме (RRAS) имеет энергию связи 5.5 эВ.

Отметим здесь сильное влияние ориентации монокристалла относительно оси анализатора спектрометра на форму спектров. В соответствии с результатами исследования электронной структуры монокристалла $\text{Cr}_{1/3}\text{TiTe}_2$, представленными в работе [18], в окрестности точки Г зоны Бриллюэна этого соединения под уровнем Ферми преобладает вклад $3d$ -состояний Ti . Зона Бриллюэна соединения $\text{Cr}_{1/3}\text{TiTe}_2$ идентична зоне Бриллюэна соединений, изученных в нашей работе. В $\text{Cr}_x\text{Ti}_y\text{Se}_2$ с высоким содержанием хрома атомы хрома являются аналогом атомов титана по их кристаллографическому расположению и химической связи. Поэтому в окрестности точки Г должны наблюдаться, в основном, $3d$ -состояния Cr . Поскольку ось с кристалла в наших экспериментальных условиях параллельна оси анализатора, измеренные спектры соответствуют окрестности точки Г зоны Бриллюэна. По нашему мнению, это объясняет высокую контрастность вклада $3d$ -состояний Cr в фотоэлектронный спектр, наряду с резонансными условиями возбуждения.

Расчеты зонной структуры были выполнены в

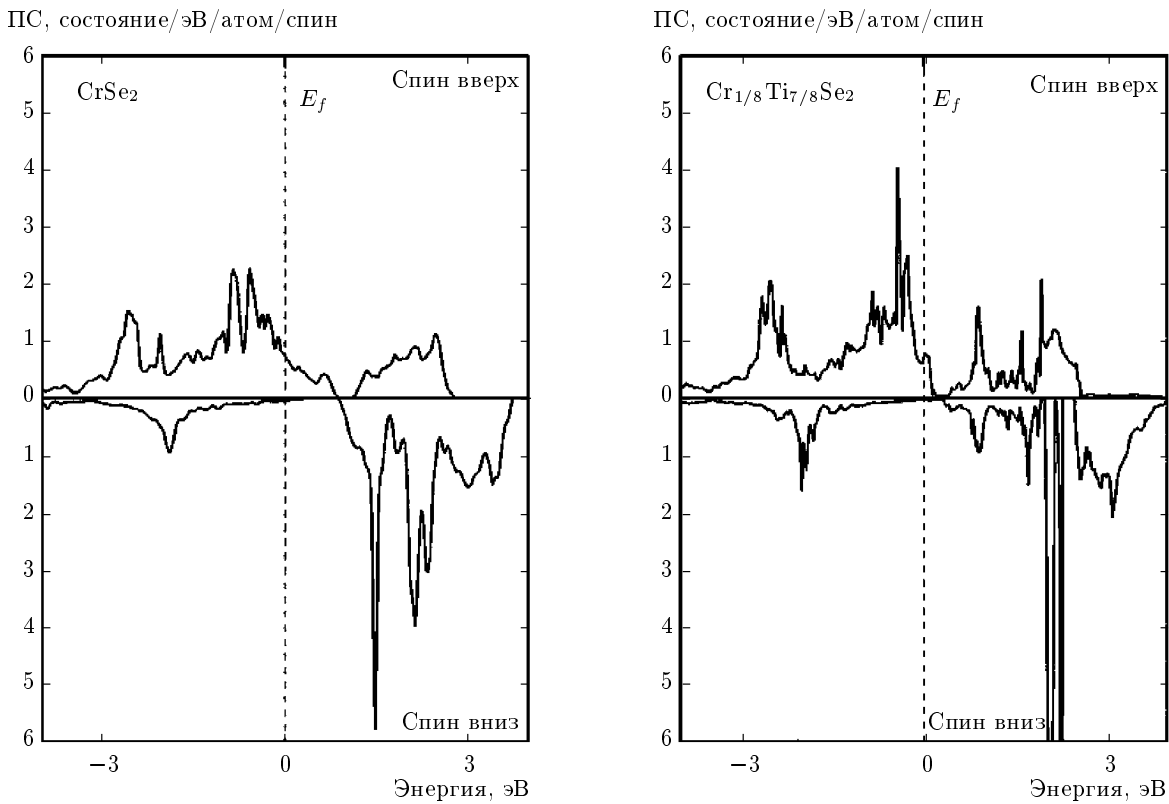


Рис. 5. Парциальные плотности состояний (ПС) для гипотетического соединения CrSe_2 и состава с замещением $\text{Cr}_{1/8}\text{Ti}_{7/8}\text{Se}_2$

рамках полнопотенциального метода линеаризованных присоединенных плоских волн (FP-LAPW), реализованном в программном пакете Wien2k [19]. Интегрирование по зоне Бриллюэна в обратном пространстве проводилось по сетке $12 \times 12 \times 6$ специальных \mathbf{k} -точек. В расчетах использовались экспериментально определенные параметры кристаллической структуры $a = 3.54 \text{ \AA}$, $c = 6.008 \text{ \AA}$, пространственная группа $P-3m1$ (164). Для расчетов электронной структуры гипотетического соединения CrSe_2 использовались координаты атомов TiSe_2 , скорректированные таким образом, чтобы параметры локального окружения атомов хрома соответствовали определенным экспериментально. Для изучения формирования электронной структуры при замещении титана на хром была выбрана сверхячейка, содержащая 8 формульных единиц TiSe_2 . На основе этой ячейки была сконструирована структура с замещением одного атома титана хромом ($\text{Cr}_{1/8}\text{Ti}_{7/8}\text{Se}_2$). Полученная в результате элементарная ячейка имеет ту же симметрию, что и исходная $P-3m1$ (164). Для расчета были выбраны радиусы

атомных сфер $R_{\text{Cr}} = 2.5$ ат. ед., $R_{\text{Ti}} = 2.5$ ат. ед. и $R_{\text{Se}} = 2.24$ ат. ед.

На рис. 5 приведены кривые парциальной плотности $3d$ -состояний Cr. В обоих случаях наблюдается сильная спиновая поляризация электронных $3d$ -состояний Cr. Локальный магнитный момент на атомах хрома равен $2.61\mu_B$ и $2.67\mu_B$ соответственно для CrSe_2 и $\text{Cr}_{1/8}\text{Ti}_{7/8}\text{Se}_2$. Однако в нестабильном гипотетическом соединении CrSe_2 энергетическая псевдощель расположена примерно на 1 эВ выше энергии Ферми. Замена атомов хрома титаном приводит к существенному изменению плотности состояний в окрестности энергии Ферми, сдвигу E_F в направлении щели и способствует созданию стабильного полуметаллического состояния электронной $3d$ -подсистемы Cr. Следует отметить, что в реальных условиях часть атомов титана также находится в щели Ван дер Ваальса. Это приводит к формированию полуметаллического состояния, когда уровень Ферми попадает в энергетическую щель плотности состояний для одной из спиновых проекций.

Кривые плотности состояний соединения с замещением также имеют полуметаллический вид, что согласуется с предыдущими расчетами гипотетического соединения CrSe₂ [1].

На основе данных теоретического расчета зонной структуры системы с замещением (Cr_{1/8}Ti_{7/8}Se₂) был смоделирован спектр валентной полосы с учетом концентрации компонентов и их сечений фотоионизации для энергии возбуждения 800 эВ [16]. Экспериментальный и теоретический спектры приведены на рис. 4. Основной вклад в пик с энергией связи 3 эВ обусловлен 3d-электронами Cr, поскольку, несмотря на высокое сечение фотоионизации селена по сравнению с хромом, плотность 4p-состояний Se при этой энергии даже с учетом относительной концентрации практически в два раза меньше. Вклад в пик с энергией связи 13 эВ обусловлен только 4s-электронами Se. Наблюдается качественное согласие энергетического положения вкладов Cr 3d, Se 4p, Se 4s в теоретическом и экспериментальных спектрах.

4. ВЫВОДЫ

Замещение атомов титана хромом в 1T-TiSe₂ приводит к образованию структурных фрагментов 1T-CrSe₂, концентрация которых нарастает с ростом концентрации хрома. Эти фрагменты наследуют кристаллическую структуру исходной фазы 1T-TiSe₂. Замещение не влияет на состояние химической связи титана, о чем свидетельствуют спектры поглощения L_{2,3} титана, имеющие идентичную форму и энергетическое положение со спектрами исходного 1T-TiSe₂. Степень ионности связи Cr—Se при увеличении содержания хрома изменяется, вероятно, за счет появления сверхстехиометрического титана, действующего как донор. На это указывает возрастание энергии связи 2p_{3/2}-линии. Спектры XAS хрома не изменяются при изменении концентрации хрома. Это является следствием неизменности локального окружения атома хрома в структурных фрагментах CrSe₂. Согласно экспериментальным данным и расчетам спектров поглощения Ti и Cr имеют степень окисления соответственно +4 и +3. При измерении резонансных XPS валентной полосы хрома обнаружена мощная узкая 3d-полоса Cr в окрестности энергии Ферми. Экспериментально обнаружено энергетическое расщепление величиной около 1 эВ

2p_{3/2}-уровня Cr, причиной которого является обменно-магнитное взаимодействие 3d-электронов Cr и оставной 2p-вакансии. Теоретические расчеты модельных соединений CrSe₂ предсказывает полу-металлический характер 3d-плотности состояний хрома, стабилизированного титаном. Этот результат подтверждается энергетическим расщеплением оставной 2p_{3/2}-линии Cr.

Работа выполнена при финансовой поддержке двусторонней программы «Российско-немецкая лаборатория на BESSY» (проект № 81041), РФФИ (грант № 09-03-00053), CRDF RUX0-000005-EK-06/BP4M05 и в рамках программы междисциплинарных исследований УрО РАН (проект № 36).

ЛИТЕРАТУРА

1. C. M. Fang, C. F. van Bruggen, R. A. de Groot et al., J. Phys.: Condens. Matter **9**, 10173 (1997).
2. H. P. Hughes, A. W. Parke, R. H. Williams, and J. J. Barry, J. Phys. C: Sol. St. Phys. **14**, L1103 (1981).
3. A. N. Titov, A. V. Kuranov, V. G. Pleschev et al., Phys. Rev. B **63**, 035106 (2001).
4. A. N. Titov, Yu. M. Yarmoshenko, S. G. Titova et al., Physica B **328**, 108 (2003).
5. T. Hibma, M. S. Whittingham, and A. J. Jacobsen, *Intercalation Chemistry*, Acad. Press, London (1982), p. 285.
6. C. F. van Bruggen, R. J. Haage, G. A. Wiegers, and D. K. G. de Boer, Physica B **99**, 166 (1980).
7. A. N. Titov, V. N. Neverov, and A. I. Merentsov, Phys. Sol. St. **48**, 1477 (2006).
8. A. N. Titov, Yu. M. Yarmoshenko, A. Zimina et al., Phys. Sol. St. **50**, 1186 (2008).
9. F. M. F. de Groot, *CTM4XAS Charge Transfer Multiplet Course: The Simulation of the Transition Metal 2p and 3p XAS, XPS, and XMCD Spectra*, <http://www.anorg.chem.uu.nl/people/staff/FrankdeGroot/>.
10. C. J. Ballhausen, in *Introduction to Ligand Field Theory*, McGraw-Hill, New York (1962).
11. F. M. F. de Groot, J. C. Fuggle, B. T. Tole, and G. A. Savatzky, Phys. Rev. B **41**, 12582 (1990).

12. C.-O. Almbladh and L. Hedin, in *Handbook on Synchrotron Radiation*, ed. by E. E. Koch, North-Holland, Amsterdam (1983), Vol. 1, p. 635.
13. B. T. Thole, G. van der Laan, J. C. Fuggle et al., Phys. Rev. B **32**, 5107 (1985).
14. J. Zaanen and G. A. Sawatzky, Phys. Rev. B **33**, 8074 (1986).
15. C. Theil, J. van Elp, and F. Folkmann, Phys. Rev. B **59**, 7931 (1999).
16. J. J. Yeh and I. Lindau, Atomic Data and Nuclear Data Tables **32**, 1 (1985).
17. S. Hufner, S.-H. Yang, B. S. Mun et al., Phys. Rev. B **61**, 12582 (2000).
18. T. V. Kuznetsova, A. N. Titov, Yu. M. Yarmoshenko et al., Phys. Rev. B **72**, 085418 (2005).
19. P. Blaha, K. Schwarz, G. K. H. Madsen et al., *WIEN2k, An Augmented Plane Wave + Local Orbitals Program for Calculating Crystal Properties*, Karlheinz Schwarz, Techn. Universität Wien, Austria.